

**МЕХАНИКА  
ТВЕРДОГО ТЕЛА**  
**№ 6 · 1984**

УДК 531.8

**ЭНЕРГЕТИЧЕСКИ ОПТИМАЛЬНЫЕ ПОХОДКИ  
ДВУНОГОГО ШАГАЮЩЕГО АППАРАТА**

**БОЛОТИН Ю. В.**

Задача снижения энергозатрат возникает при изучении вопроса о возможности создания быстроходных шагающих роботов [1]. Имеющиеся оценки энергозатрат ходьбы со скоростями, сравнимыми со скоростью колесного транспорта, приводят к весьма высоким требованиям к средней мощности управляющих двигателей [2, 3]. Поэтому целесообразен поиск минимальных теоретически достижимых оценок энергозатрат как с точки зрения конструкции, так и закона управления шагающими аппаратами. Функционал энергозатрат не является гладким по скорости, что создает дополнительные трудности при аналитических и численных методах исследования. До настоящего времени, по-видимому, точное решение задачи оптимизации не было найдено даже в простейших задачах ходьбы. Из-за недостаточной гладкости задачи методы параметрической оптимизации очень чувствительны к выбору класса варьируемых параметров и не всегда обеспечивают близость решения к оптимальному [2].

Необходимость снижения энергозатрат приводит к отказу от требования статической устойчивости и переходу к изучению одноопорных и безопорных фаз движения [1, 2]. В отсутствие фазы опоры на две и более конечности число конечностей аппарата мало влияет на свойства походки. Поэтому характер роста энергозатрат при увеличении скорости движения для двуногого, четырехногого и шестиногого аппаратов аналогичен.

В публикуемой работе точное решение задачи минимизации энергозатрат построено в случае идеализированной модели двуногого шагающего аппарата с малоинерционными конечностями и поступательно движущимся корпусом. Несмотря на условность постановки, решение задачи позволяет сделать некоторые содержательные выводы.

1. Рассматривается движение одномассовой модели двуногого шагающего аппарата с точечными стопами по ровной горизонтальной поверхности, при котором нет проскальзывания и участков двупорной фазы, а конечности ставятся на опорную поверхность безударно. Положение центра масс аппарата в пространстве определяется его радиус-вектором  $r$ , начало которого связано с текущей точкой опоры. При рассмотрении безопорной фазы для определенности считаем точкой опоры ту точку, в которой стопа предыдущей опорной конечности находилась перед отрывом.

Движение центра масс аппарата определяется взаимодействием двух сил: веса аппарата  $P$ , приложенного в центре масс, и опорной реакции  $R$ , приложенной в текущей точке опоры

$$Mr'' = P + R \quad (1.1)$$

Реакция опоры в (1.1) удовлетворяет условиям

$$R \cdot P \leq 0, \quad R \times r = 0 \quad (1.2)$$

Первое соотношение (1.2) утверждает, что опорная поверхность дает одностороннюю связь. Второе означает возможность пренебречь динамикой относительного движения: в противном случае скорость изменения центрального момента количества движения аппарата отлична от нуля. При изучении движения центра масс реакцию опоры можно считать управляющим параметром. Мощность управляющих двигателей прибли-

женно определяется мощностью  $N = \mathbf{R} \cdot \mathbf{r}$  силы реакции, а энергозатраты — величиной [2]:

$$W = \int_{t_0}^{t_k} |N(t)| dt \quad (1.3)$$

Поставим задачу минимизации энергозатрат (1.3), наложив на движение аппарата следующие дополнительные условия: движение прямолинейно в среднем и происходит с заданной средней скоростью  $V$  и длиной шага  $2s$ ; фазы опоры на левую и правую конечности динамически симметричны; максимальная величина  $r = |\mathbf{r}|$  в опорной фазе ограничена константой  $r_{\max} > 0$ .

Заметим, что в реальной задаче оптимизации ходьбы фиксировать длину шага и максимальную величину  $r$  нет необходимости: первая может быть вычислена как оптимальная функция скорости из динамики относительного движения, а вторая ограничена автоматически за счет ограниченности длин конечностей. В рассматриваемой же здесь модельной задаче варьирование  $s$  и снятие ограничения  $r \leq r_{\max}$  дает  $s \rightarrow 0$ ,  $r \rightarrow \infty$ , что физически невозможно.

С учетом симметрии левоопорной и правоопорной фаз достаточно рассматривать ходьбу в течение одного шага. Можно считать, что движение происходит в направлении оси  $\mathbf{e}_x$  декартовой системы координат с началом в точке опоры; при этом ось  $\mathbf{e}_z$  вертикальна.

Задача минимизации энергозатрат имеет помимо симметрии левоопорной и правоопорной фаз группу симметрий, порожденную отражениями  $y \rightarrow -y$ ,  $x \rightarrow -x$  и обращением времени. Эта группа переводит решения оптимальной задачи в решения. Возможен частный тип оптимальных траекторий, инвариантных к преобразованиям группы, которые будем называть симметричными. Если симметричная траектория оптимальна при фиксированных значениях параметров, то симметричная траектория оптимальна и при близких к ним значениях. Отмеченные свойства делают целесообразным поиск походок, оптимальных в классе симметричных траекторий. Симметричные траектории достаточно изучать на половине шага.

После перехода к безразмерным переменным  $t_* = t(g/r_{\max})^{1/2}$ ,  $\mathbf{r}_* = \mathbf{r}/r_{\max}$ ,  $R_* = R/P$ ,  $W_* = W/2sP$  задача имеет два безразмерных параметра  $s_* = s/r_{\max}$ ,  $V_* = V \cdot (gr_{\max})^{-1/2}$  и формулируется следующим образом (в дальнейшем знак \* опущен):

*Задача оптимизации.* При заданных  $s$ ,  $V$  найти минимум функционала

$$W = \frac{1}{s} \int_0^{s/V} |uv \cdot \mathbf{r}| dt \quad (1.4)$$

в классе траекторий, удовлетворяющих динамическим ограничениям

$$\mathbf{r}' = \mathbf{v}, \quad \mathbf{v}' = ur - \mathbf{e}_z, \quad 0 \leq ru \leq u \quad (1.5)$$

и краевым условиям периодичности

$$x(0) = 0, \quad x(s/V) = s, \quad w(0) = w(s/V) = 0 \quad (1.6)$$

Здесь  $x$ ,  $z$ ,  $v$ ,  $w$  — компоненты векторов  $\mathbf{r}$ ,  $\mathbf{v}$  по осям  $x$ ,  $z$ , управляющий параметр  $u$  связан с реакцией опоры  $R$  заменой  $R = ru$ . С учетом условий (1.2) замена невырождена, если  $r > 0$ . Ниже показано, что случай  $r = 0$  можно исключить из рассмотрения.

2. Найдем необходимые условия экстремума в задаче (1.4)–(1.6). Это — задача с негладким выпуклым функционалом и выпуклым по скорости фазовым ограничением. В любой точке, где  $r > 0$ , множество вариа-

ций фазовой скорости выпукло. Отсюда следует, что здесь не может возникать скользящих режимов.

Пусть траектория определена на отрезке  $0=t_0 \leq t \leq t_k = s/V$ ,  $\mathbf{q}(t) = (\mathbf{r}, \mathbf{v})^T$  — фазовый вектор, а  $(\psi_0, \psi(t))$  — нетривиальный расширенный сопряженный ему ковектор. Гамильтониан задачи определяется формулой

$$H = \mathbf{f}(\mathbf{q}, u) - \psi_0 \cdot \mathbf{u} \mathbf{v} \cdot \mathbf{r} \quad (2.1)$$

Здесь  $\mathbf{f}(\mathbf{q}, u)$  — вектор правых частей уравнения (1.5). Разделим отрезок  $t_0 \leq t \leq t_k$  на конечное число кусков  $t_{i-1} \leq t \leq t_i$ , на которых величина  $\mathbf{v} \cdot \mathbf{r}$  сохраняет знак. На таком куске задача эквивалентна задаче минимизации функционала

$$W_i^\pm = \pm \frac{1}{s} \int_{t_{i-1}}^{t_i} \mathbf{u} \mathbf{v} \cdot \mathbf{r} dt \Leftrightarrow \min \quad (2.2)$$

в классе траекторий, удовлетворяющих уравнению (1.5) и дополнительному фазовому ограничению  $\mathbf{v} \cdot \mathbf{r} \geq 0$ . Индексы плюс и минус в задаче (2.2) соответствуют случаям  $\mathbf{v} \cdot \mathbf{r} \geq 0$ . Если невозможны разночтения, индексы опускаются.

Задача (2.2) стандартна. Принцип максимума для нее формулируется следующим образом [4]. Существует нетривиальный ковектор  $(\psi_0, \psi^\pm(t))$ ,  $\psi_0 \geq 0$ , удовлетворяющий уравнению

$$\dot{\psi} = -H_q - \mu \partial(\mathbf{v} \cdot \mathbf{r}) / \partial \mathbf{q} \quad (2.3)$$

такой, что управление  $u(t)$  обеспечивает максимум  $H = \text{const}$  гамильтониана (2.1) среди всех допустимых управлений. Здесь  $\mu$  — неотрицательная при  $\mathbf{v} \cdot \mathbf{r} \geq 0$  (соответственно неположительная при  $\mathbf{v} \cdot \mathbf{r} \leq 0$ ) мера, сосредоточенная на множестве тех точек  $t$ , где  $\mathbf{v} \cdot \mathbf{r} = 0$ . На левой и правой границах отрезка  $t_0 \leq t \leq t_k$  и в точках склейки  $t_i$  участков  $\mathbf{v} \cdot \mathbf{r} \geq 0$  вектор  $\psi$  удовлетворяет условиям трансверсальности.

Найдем условия трансверсальности с учетом конкретных условий на концах (1.6). На левом конце траектории фазовые переменные удовлетворяют ограничениям  $x=0, w=0, z \leq 1$ . Трансверсальность означает, что ковектор  $\psi$  определяет опорную гиперплоскость к множеству допустимых левых концов, т. е. удовлетворяет правилу множителей Лагранжа [5]

$$\psi \cdot \delta \mathbf{q} + \lambda \partial z / \partial \mathbf{q} \cdot \delta \mathbf{q} = 0 \quad (z \leq 1, \lambda \leq 0)$$

Здесь  $\lambda$  — множитель при ограничении  $z \leq 1$ ; вариации  $\delta \mathbf{q}$  согласованы с ограничениями  $x=0, w=0$ . Приравнивая нуль коэффициенты при независимых вариациях, получим условия на левом конце

$$\psi_0 = 0, \quad \psi_2 \geq 0, \quad \psi_2 = 0 \Leftrightarrow z < 1 \quad (2.4)$$

Рассмотрим условия на правом конце. Если движение при  $t=t_k$  происходит в фазе опоры, то в этот момент должны быть выполнены ограничения  $x=s, w=0, r \leq 1$ . Если же конец траектории предшествует фаза полета, то ограничение  $r \leq 1$  задается в начале этой фазы, а ограничение  $x=s, w=0$  — в ее конце. Объединяя оба случая, введем краевые условия в начале последней фазы полета  $x+v w=s, t+w=s/V$  ( $w \geq 0, r \leq 1$ ), модифицируя ограничения типа равенства. Здесь  $t$  — длительность движения до фазы полета. Вводя множители Лагранжа  $\lambda, v$  при ограничениях  $r \leq 1, w \geq 0$  соответственно и переменную  $\psi_5$ , сопряженную времени, получим условия трансверсальности в виде

$$\psi \cdot \delta \mathbf{q} + \psi_5 \delta t + \lambda r \partial r / \partial \mathbf{q} \cdot \delta \mathbf{q} - v \partial w / \partial \mathbf{q} \cdot \delta \mathbf{q} = 0$$

$$(r \leq 1, \lambda \leq 0, w \geq 0, v \leq 0)$$

Приравнивая нулю коэффициенты при независимых вариациях, найдем условия на правом конце

$$\begin{aligned}\psi_2 &\geq 0, \quad -w\psi_1 + (x/z)w\psi_2 + \psi_3 = 0 \\ -\psi_5 &- v\psi_1 + (x/z)v\psi_2 + \psi_4 \leq 0\end{aligned}\tag{2.5}$$

Равенства в первом и третьем соотношениях достигаются тогда и только тогда, когда соответственно  $r < 1$ ,  $w > 0$ .

Рассмотрим условия в точках склейки участков  $\mathbf{v} \cdot \mathbf{r} \geq 0$ . Допустимая вариация точки склейки совместима с ограничением  $\mathbf{v} \cdot \mathbf{r} = 0$ ; скачок  $\psi^+ - \psi^-$  ортогонален вариации. Отсюда

$$\begin{aligned}(\psi_1^+ - \psi_1^-)z &= (\psi_4^+ - \psi_4^-)v \\ (\psi_2^+ - \psi_2^-)z &= (\psi_4^+ - \psi_4^-)w \\ (\psi_3^+ - \psi_3^-)z &= (\psi_4^+ - \psi_4^-)x\end{aligned}\tag{2.6}$$

3. Опишем различные по своим экстремальным свойствам участки траекторий задачи (2.2). Они различаются, во-первых, различными типами максимума гамильтониана  $H$  и, во-вторых, условием выхода на ограничение  $\mathbf{v} \cdot \mathbf{r} = 0$ . Возможны следующие четыре типа участков, которые будем обозначать  $S$ ,  $P^\pm$ ,  $I^\pm$ ,  $X^\pm$ .

Участок траектории имеет тип  $S$ , если на нем  $\mathbf{v} \cdot \mathbf{r} = 0$ . Это значит, что центр тяжести аппарата движется по окружности; реакция  $u$  отлична от нуля и определяется равенством

$$u = (z - |\mathbf{v}|^2)/r^2\tag{3.1}$$

Поскольку управление (3.1) обеспечивает максимум гамильтониана, а  $H$  — линейная функция  $u$ , то  $H_u = 0$ . Мера  $\mu^\pm$ , входящая в уравнение (2.3), абсолютно непрерывна во внутренних точках участка  $S$  и на его левом конце. На правом конце  $\mu^\pm$  сингулярна тогда и только тогда, когда происходит пассивный отрыв от опорной поверхности.

$$z = |\mathbf{v}|^2, \quad d\mu^+ > 0\tag{3.2}$$

Участок траектории имеет тип  $P$ , если  $\mathbf{v} \cdot \mathbf{r} \neq 0$ , а гамильтониан достигает на нем строгого невырожденного максимума при  $u = 0$ . Это кусок баллистической траектории. Функция  $H_u$  на нем является полиномом третьей степени по времени, причем выполнено неравенство  $H_u < 0$ .

Участок траектории имеет тип  $I$ , если гамильтониан на нем достигает строгого невырожденного максимума, когда  $u$  принимает максимально возможное значение  $u = u_{\max}$ . Это толчок опорной конечностью максимально возможной интенсивности; во время толчка  $H_u \geq 0$ . На практике величина  $u_{\max}$  определяется пиковой мощностью управляющих двигателей. Будем считать, что  $u_{\max}$  — достаточно большая величина, т. е. рассматривать асимптотику решений оптимальной задачи при  $u_{\max} \rightarrow \infty$ . Поскольку энергозатраты на оптимальной траектории ограничены, длительность участка  $I$  мала при больших  $u_{\max}$ , так что функция  $uH_u$  ограничена на  $I$ . В пределе при  $u_{\max} \rightarrow \infty$  имеем  $H_u = 0$ . Если, кроме того,  $I$  находится внутри одного из промежутков  $\mathbf{v} \cdot \mathbf{r} \geq 0$ , то  $H_u = 0$  на  $I$ .

Участок траектории имеет тип  $X$  и называется особым, если на нем  $\mathbf{v} \cdot \mathbf{r} \neq 0$ , но максимум гамильтониана является вырожденным:  $H_u = 0$ .

Помимо перечисленных  $S^\pm$ ,  $P^\pm$ ,  $I^\pm$ ,  $X^\pm$  введем символы  $L$ ,  $R$ , означающие соответственно левый и правый концы траектории, и будем нумеровать участки оптимальных траекторий слева направо. Тогда каждой оптимальной траектории задачи (1.4) — (1.6) отвечает последовательность  $L \dots S P^+ I^+ \dots R$ , называемая типом походки.

4. Пусть  $E = z + |\mathbf{v}|^2/2$  — полная механическая энергия аппарата. Сделаем замену переменных

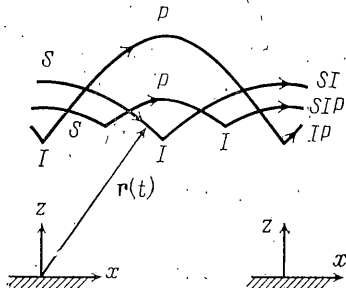
$$\mathbf{p}^\pm = \Psi^\pm \psi_0 E_q \quad (4.1)$$

Гамильтониан задачи преобразуется к виду

$$H = p_1 v + p_2 w + p_3 u x + p_4 (uz - 1) \quad (4.2)$$

гамильтониана задачи оптимального быстродействия; уравнения (2.3) сохраняют гамильтонову форму

$$\dot{\mathbf{p}} = -H_{\mathbf{q}} - \mu \partial(\mathbf{v} \cdot \mathbf{r}) / \partial \mathbf{q}$$



Фиг. 1

Заметим, что, хотя гамильтониан (4.2) совпадает с гамильтонианом задачи быстродействия, это не значит, что траектории экстремальны по быстродействию. Во-первых, условия трансверсальности не инвариантны к преобразованию (4.1), так что траектория может быть экстремальна по быстродействию только в задаче с закрепленными концами. Во-вторых, ковектор задачи быстродействия может оказаться нулевым.

**Утверждение 1.** Пусть на участке  $t_{i-1} \leq t \leq t_i$  множество  $D_i$  допустимых пар граничных точек  $\mathbf{q}_{i-1}, \mathbf{q}_i$  таково, что функция  $E(\mathbf{q}_i) - E(\mathbf{q}_{i-1})$  не имеет экстремума на  $D_i$ . Тогда оптимальная траектория экстремальна по быстродействию в задаче с закрепленными концами и фазовым ограничением  $\mathbf{v} \cdot \mathbf{r} \geq 0$ .

Для доказательства заметим, что с точностью до знака функционал (2.2) совпадает с приращением механической энергии аппарата и потому определяется концами траектории. Концы оптимальной траектории лежат в пересечении  $D_i$  и множества достижимости задачи экстремального быстродействия. Поскольку, по предположению, это пересечение не содержит внутренних точек экстремума энергии, концы траектории лежат на границе множества достижимости.

Краевые условия (1.6) при  $r > 0$  удовлетворяют требованиям утверждения 1. Следовательно, любая неэкстремальная по быстродействию и не проходящая через точку  $\mathbf{r} = 0$  оптимальная траектория  $\mathbf{q}(t)$ ,  $t_{i-1} \leq t \leq t_i$  не содержит граничных точек  $t_0, t_k$  и является особой, причем на ней ковектор  $\mathbf{p}(t)$  тождественно равен нулю.

**Утверждение 2.** Оптимальная траектория задачи (2.2) является особой только в одном из двух случаев: если траектория проходит через точку  $\mathbf{r} = 0$  и является баллистической; если траектория не содержит граничных точек  $t_0, t_k$ , а ковектор  $\mathbf{p}(t)$  тождественно равен нулю.

**Доказательство.** Особая траектория удовлетворяет системе дифференциальных соотношений  $d^n/dt^n H_u = 0$ ,  $0 \leq n \leq 3$ . Вычисление здесь производных по времени как скобок Пуассона с гамильтонианом задачи сводит эту систему к системе линейных уравнений, однородной по  $\mathbf{p}$ . Определитель системы имеет вид  $\det = 2v(vz - ux) - x^2$  и является неотрицательной и неубывающей функцией времени. Его производная по времени равна нулю в фазе полета и положительна в фазе опоры; следовательно, тождество  $\det = 0$  достигается только на баллистической траектории, проходящей через начало координат. Если же на особой траектории  $\det \neq 0$ , то  $\mathbf{p}(t) \equiv 0$ ; последнее невозможно с условиями трансверсальности (2.4), (2.5) в граничных точках траектории.

Траектория называется жесткой [5], если на ней  $\Phi_0 = 0$ . Для жестких траекторий гамильтониан дифференцируем во всей своей области определения и нет необходимости разделять участки  $\mathbf{v} \cdot \mathbf{r} \leq 0$ . В частности, переменные  $\mathbf{p}^\pm$  совпадают с  $\Psi$ , а задача (2.2) — с задачей (1.4) — (1.6).

**Утверждение 3.** Неособая оптимальная траектория задачи (2.2) является жесткой тогда и только тогда, когда она имеет тип LIPR и проходит через точку  $\mathbf{r} = 0$ .

<sup>1</sup> См. Болотин Ю. В. Энергетически оптимальные походки в модельной задаче управления двуногим шагающим аппаратом.— Препринт Ин-та прикл. матем. АН СССР, М., 1982, № 202. 28 с.

Из приведенных утверждений следует, что возможны два типа оптимальных траекторий, начинающихся в начале координат: неэкстремальные по быстродействию и жесткие траектории. Для траекторий первого типа аппарат неподвижно стоит в точке  $r=0$  конечный отрезок времени  $t_0 \leq t \leq t_1$ , а затем «выпрыгивает» из этой точки с ненулевой скоростью и под ненулевым углом к горизонту. Неэкстремальность по быстродействию связана здесь с возможностью изменения длительности стояния  $t_1 - t_0$ . Для траекторий второго типа в момент прохождения точки  $r=0$  горизонтальная составляющая скорости центра тяжести отлична от нуля, импульс реакции в этот момент меняет вертикальную, но сохраняет горизонтальную составляющую скорости центра тяжести.

Жесткой траектории отвечает вырожденный минимум функционала (1.4): подняв ее на высоту  $0 < h < 1$  вдоль оси  $z$ , получим то же значение энергозатрат. Поэтому без ограничения общности можно считать, что  $\psi_0 = 1$ .

Выясним свойства точек склейки траекторий задачи (2.2).

*Утверждение 4.* Пусть точка склейки участков  $v \cdot r \geq 0$  оптимальной траектории задачи (1.4) – (1.6) не является точкой пассивного отрыва  $SP^+$ . Тогда переменные  $\Phi$  непрерывны в этой точке, а переменные  $p^\pm$  преобразуются в ней по формуле  $p^+ - p^- = -2E_q$ .

Это утверждение вытекает из соотношения (3.2), условий трансверсальности (2.6) и требования непрерывности гамильтонiana. Поскольку всегда возможно разбиение оптимальной траектории на участки  $v \cdot r \geq 0$ , такое, что среди точек склейки нет точек пассивного отрыва, можно считать, что переменные  $\Phi$  всегда непрерывны в точках склейки.

5. Доказанные выше утверждения полностью характеризуют локальные свойства походок, удовлетворяющих необходимым условиям оптимальности. Множество оптимальных походок, т. е. тех походок, для которых эти свойства согласованы, описывается следующим образом.

*Теорема.* Пусть максимальная интенсивность управления  $u_{\max}$  достаточно велика. Тогда при любых значениях параметров  $s, V$  возможны только следующие типы оптимальных походок:  $LSI^+R$  – ходьба;  $LSI^+P+R$  – медленный бег;  $LSP^+I^+P+R$ ,  $LSP^-P+I^+P+R$ ,  $LSP^-I^-I^+P+R$ ,  $LP^+I^+P+R$  – медленный бег с разгрузкой;  $LI^+P+R$  – быстрый бег. Ходьба и медленный бег являются решениями задачи минимального, а быстрый бег – задачи максимального быстродействия с закрепленными концами и фазовым ограничением  $v \cdot r \geq 0$ .

Доказательство теоремы основано на последовательном переборе возможных последовательностей участков  $S, I^\pm, P^\pm, X^\pm$ .

6. Дадим механическую интерпретацию описанных типов оптимальных походок (фиг. 1).

*Ходьба.* Конечности аппарата выпрямлены, движение в опорной фазе осуществляется «перекатом». В момент окончания шага происходит толчок опорной конечностью максимально возможной интенсивности.

*Медленный бег.* Движение аппарата в опорной фазе осуществляется перекатом. При толчке в момент окончания опорной фазы аппарат переходит в фазу полета, которая заканчивается в момент постановки другой конечности.

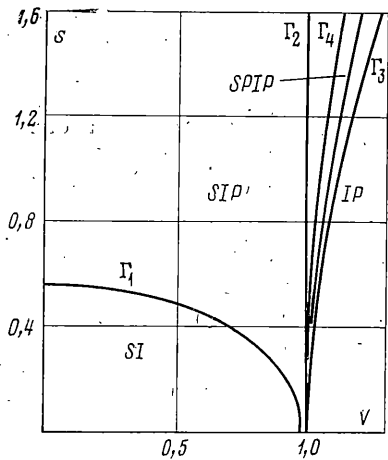
*Медленный бег с разгрузкой.* При этом типе походки движение в фазе опоры происходит на не полностью выпрямленных конечностях. Перед толчком в момент окончания опорной фазы опорная конечность полностью разгружена.

*Быстрый бег.* Движение в фазе опоры происходит на полусогнутых конечностях. Длительность фазы опоры минимально возможная для того, чтобы обеспечить необходимую настильность вылета аппарата в фазе полета.

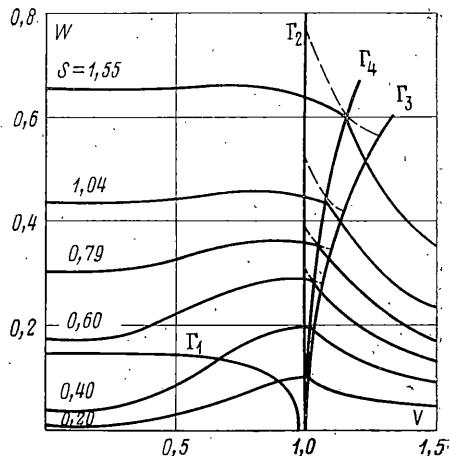
Пусть заданы значения безразмерных длины шага  $2s_*$  и скорости движения  $V_*$  и требуется найти отвечающую им оптимальную походку. Параметризуем описанный класс походок четырехмерным вектором  $a$ , координаты которого составляют начальная горизонтальная скорость  $v(0)$  и длительности участков движения перекатом, разгрузкой и в фазе полета. Энергозатраты, средняя скорость и длина шага являются гладкими функциями  $W(a)$ ,  $V(a)$ ,  $2s(a)$ . Найти оптимальную при заданных  $s_*$ ,  $V_*$  походку – значит решить конечномерную экстремальную задачу с ограничениями

$$W(a) \rightarrow \min, \quad a_i \geq 0, \quad V(a) = V_*, \quad s(a) = s_* \quad (6.1)$$

<sup>2</sup> См. также указ. публ. с. 52.



Фиг. 2



Фиг. 3

Локальному минимуму (6.1) отвечает локально оптимальная походка аппарата, глобальному минимуму — глобально оптимальная походка [6].

Задача (6.1) решена численно, методом множителей Лагранжа. Бифуркационная диаграмма локально оптимальных походок в плоскости  $s, V$  приведена на фиг. 2. При малых скоростях и длинах шага единственной локально оптимальной походкой является ходьба, при пересечении бифуркационной кривой  $\Gamma_1$  ходьба теряет локальную оптимальность и переходит в медленный бег. Медленный бег — единственная локально оптимальная походка в области, ограниченной кривыми  $\Gamma_1, \Gamma_2$ . При пересечении  $\Gamma_2$  возникает еще одна походка — быстрый бег, которая сохраняет локальную оптимальность во всем диапазоне  $1 < V < \infty, 0 < s < \infty$ . Область глобальной оптимальности быстрого бега уже. Это связано с наличием зоны гистерезиса — клина с границами  $\Gamma_2, \Gamma_3$ , внутри которого локально оптимальны как медленный, так и быстрый бег. Потеря локальной оптимальности медленного бега происходит на  $\Gamma_3$ , а глобальной — на  $\Gamma_4$ . Таким образом, бифуркация медленный бег — быстрый бег отличается от бифуркации ходьба — медленный бег. В первом случае при пересечении бифуркационной кривой параметры меняются скачкообразно, во втором — непрерывно. Невозможность непрерывного перехода от медленного к быстрому бегу следует и из теоретических соображений: медленный бег является наихудшей, а быстрый — наилучшей по быстродействию походкой. Поэтому переходная походка должна быть или неэкстремальной по быстродействию, или жесткой, что, по доказанному, невозможно.

Зона локальной оптимальности медленного бега с разгрузкой оказывается очень узким клином, лежащим внутри зоны гистерезиса. Более того, этот клин лежит в области глобальной оптимальности быстрого бега, так что медленный бег с разгрузкой не является глобально оптимальным ни при каких значениях параметров.

Зависимость энергозатрат от скорости при различных длинах шага приведена на фиг. 3.

Приведенные результаты хорошо согласуются с некоторыми свойствами ходьбы человека. Переход от ходьбы к медленному бегу выгоден, для длины ноги 1 м и длины шага 0,8 м, при скорости 7,5 км/ч, переход от медленного к быстрому бегу — при скорости 11 км/ч. Хотя в постановку задачи не входили ограничения на коэффициент трения опоры, его значение не превосходит 0,4.

Импульсный характер управления в данной задаче связан с отсутствием ограничений на мощность управляющих двигателей. Ограничение приведет к «размазыванию» импульса на конечный отрезок времени; для снижения средних энергозатрат целесообразно использовать энергоустановку с высокой пиковой мощностью.

## ЛИТЕРАТУРА

1. Охочимский Д. Е., Платонов А. К., Кугушев Е. Й., Ярошевский В. С. Расчет динамических параметров движения шагающего аппарата на ЭВМ.— В кн.: Исследование робототехнических систем. М.: Наука, 1982, с. 72—77.
2. Белецкий В. В., Болотин Ю. В. Модельная оценка энергетики двуногой ходьбы и бега.— Изв. АН СССР. МТТ, 1983, № 4, с. 89—94.
3. Охочимский Д. Е., Платонов А. К., Лапшин В. В. Энергетика движения шестиногого шагающего аппарата.— В кн.: Информационные и управляющие системы роботов. М.: Изд-е Ин-та прикл. матем. АН СССР, 1982, с. 8—19.
4. Дубовицкий А. Я., Милютин А. А. Задачи на экстремум при наличии ограничений.— Ж. вычисл. матем. и матем. физ., 1965, т. 5, № 3, с. 395—453.
5. Алексеев А. М., Тихомиров В. М., Фомин С. В. Оптимальное управление. М.: Наука, 1979. 429 с.
6. Болотин Ю. В. Качественные закономерности энергетически оптимальной ходьбы и бега.— В кн.: Информационные и управляющие системы роботов. М.: Изд-е Ин-та прикл. матем. АН СССР, 1982, с. 20—27.

Москва

Поступила в редакцию  
5.VII.1983